

Segmentace obrazu - hranové

Segmentace obrazu

- Segmentace obrazu
 - Rozčlenění obrazu na části, které úzce souvisí s objekty nebo částmi reálného světa
 - Nepřekrývající se oblasti
- Segmentace
 - Kompletní (plná korespondence)
 - Částečná (neúplná korespondence)
- Segmentace probíhá na základě stejnorodosti (homogeneity) nějaké vlastnosti, např. velikosti jasů
- Složitější segmentace, např. podle textury

Segmentace obrazu

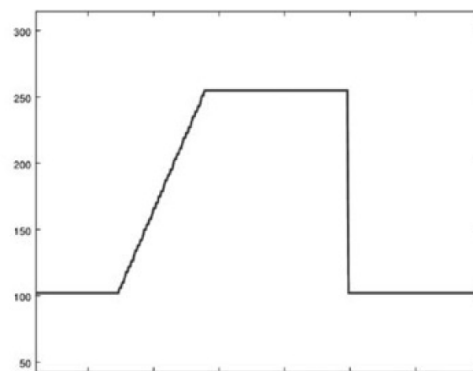
- Segmentace obrazu na základě **detekce hran**
 - Vychází z pozorování, že hranice jsou zvýrazněny aplikací gradientních operátorů – místa prudkých změn intenzit jasů
 - Využívá se prahování
- Výsledkem detekce hran je obraz, který ale není příliš použitelný
- Proto následuje aplikace metod, které pospojují detekované hrany a vytvoří tak hranu (využívají ve větší či menší míře *apriorní* informace)
- Marrova segmentace na základě inspirace biologickým viděním
- Cannyho detektor hran

Detekce hran

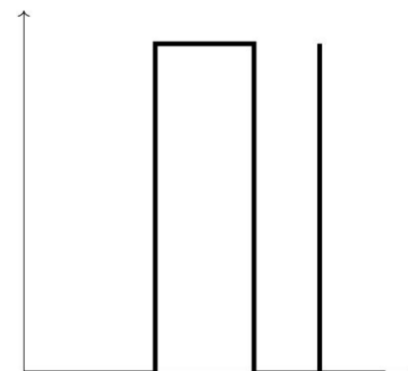
- Hrany představují velmi užitečnou informaci v obraze.
- Mohou být využity pro měření velikosti objektů v obraze, pro oddělení objektů od pozadí, pro rozpoznání a klasifikaci objektů apod.
- Neformálně může být hrana definována jako lokální nespojitost v hodnotách pixelů, která překračuje danou mez. Jinými slovy se jedná o rozdíl v hodnotách sousedních pixelů.



šedotónový obrázek



profil hran $f(x)$



derivace profilu hran df/dx

Detekce hran

- Řada metod pro detekci hran je postavena na diferenci hodnot pixelů.
- Připomenutí definice derivace

$$\frac{df}{dx} = \lim_{h \rightarrow 0} \frac{f(x+h) - f(x)}{h}$$

- Jiné vyjádření derivace: $\lim_{h \rightarrow 0} \frac{f(x) - f(x-h)}{h}, \quad \lim_{h \rightarrow 0} \frac{f(x+h) - f(x-h)}{2h}$
- Pro diskrétní svět je hodnota jmenovatele $h = 1$, protože se jedná o vzdálenost dvou sousedních pixelů a místo o derivaci mluvíme o diferenci.

$$f(x+1) - f(x) \quad f(x) - f(x-1), \quad (f(x+1) - f(x-1))/2$$

Detekce hran

- **Gradient** – vektor parciálních derivací (diferencí) – míří ve směru největšího nárůstu hodnot

$$\text{grad } f(x, y, \dots) = \nabla f(x, y, \dots) = \left(\frac{\partial f}{\partial x}, \frac{\partial f}{\partial y}, \dots \right)$$

- Pro funkci dvou proměnných $f(x, y)$, tj. v našem případě obrázků platí

$$|\nabla f| = \sqrt{\left(\frac{\partial f}{\partial x} \right)^2 + \left(\frac{\partial f}{\partial y} \right)^2}$$

velikost

$$\varphi = \text{arctg} \left(\frac{\partial f}{\partial x} / \frac{\partial f}{\partial y} \right)$$

směr

- V diskrétním světě se derivace nahrazují diferencemi, a počítají se pomocí lineárních filtrů a masek, které jsou aproximacemi derivací.

Detekce hran

- **Filtry pro detekci hran** (výpočet aproximace 1. derivace)

- Vyjdeme z definice derivace, resp. difference ve tvaru $f(x+1) - f(x-1)$
- Potom můžeme realizovat horizontální a vertikální aproximaci derivace (diferenci) pomocí těchto masek lineárních filtrů:

$$\begin{bmatrix} -1 & 0 & 1 \end{bmatrix} \qquad \begin{bmatrix} -1 \\ 0 \\ 1 \end{bmatrix}$$

- Tyto filtry najdou horizontální, resp. vertikální hrany, ale jsou poněkud „syrové“.
- Proto je výhodné výsledek vyhladit lineárním filtrem s maskami:

$$\begin{bmatrix} 1 \\ 1 \\ 1 \end{bmatrix} \qquad \begin{bmatrix} 1 & 1 & 1 \end{bmatrix}$$

Detekce hran

- Oba dílčí filtry můžeme zkombinovat do jednoho filtru, který se nazývá **Prewittův filtr**:

$$P_x = \begin{bmatrix} -1 & 0 & 1 \\ -1 & 0 & 1 \\ -1 & 0 & 1 \end{bmatrix}$$

vertikální hrany

$$P_y = \begin{bmatrix} -1 & -1 & -1 \\ 0 & 0 & 0 \\ 1 & 1 & 1 \end{bmatrix}$$

horizontální hrany

- Pokud p_x a p_y jsou hodnoty (intenzity) pixelu získaného filtrací pomocí P_x , resp. P_y , potom velikost gradientu je dána vztahem

$$\sqrt{p_x^2 + p_y^2}$$

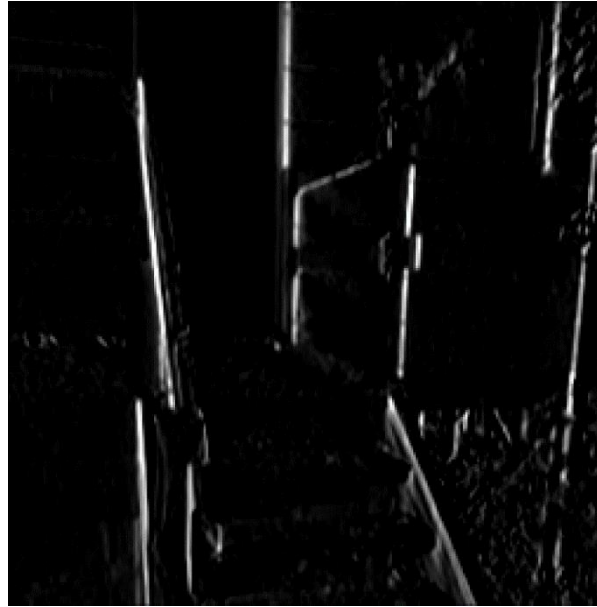
- Který je ale v praxi nahrazován jednodušším výpočtem a to $\max\{|p_x|, |p_y|\}$
nebo $|p_x| + |p_y|$

Detekce hran

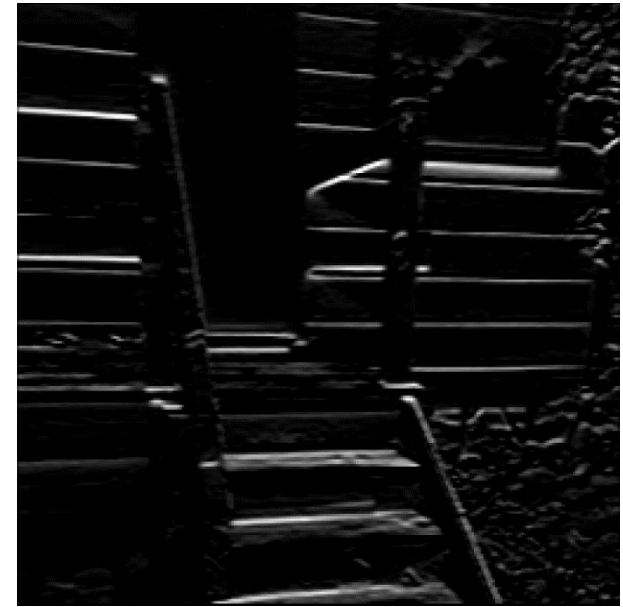
- Příklad



původní obrázek



vertikální směr (P_x)



horizontální směr (P_y)

Detekce hran

- Zkombinování dílčích filtrovaných snímků



šedotónový obrázek



prahovaný obrázek

Detekce hran

- Dalšími známými filtry jsou **Robertsův filtr**

$$\begin{bmatrix} 1 & 0 & 0 \\ 0 & -1 & 0 \\ 0 & 0 & 0 \end{bmatrix} \quad \begin{bmatrix} 0 & 1 & 0 \\ -1 & 0 & 0 \\ 0 & 0 & 0 \end{bmatrix}$$

- a **Sobelův filtr** (mírně dává důraz na středový pixel)

$$\begin{bmatrix} -1 & 0 & 1 \\ -2 & 0 & 2 \\ -1 & 0 & 1 \end{bmatrix} \quad \begin{bmatrix} -1 & -2 & 1 \\ 0 & 0 & 0 \\ 1 & 2 & 1 \end{bmatrix}$$

- Varianta Sobelova filtru pro detekci hran (derivaci) v šikmém směru

$$h = \begin{bmatrix} 0 & 1 & 2 \\ -1 & 0 & 1 \\ -2 & -1 & 0 \end{bmatrix}$$

Detekce hran

- Příklad Robertsova a Sobelova filtru



Robertsův filtr



Sobelův filtr

Detekce hran

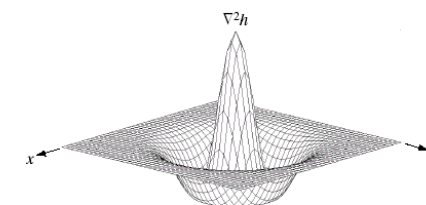
- **Filtry pro detekci hran** (výpočet aproximace 2. derivace)
 - Součet druhých derivací v obou směrech se nazývá **Laplaceův operátor** (*Laplacian*)

$$\nabla^2 f = \frac{\partial^2 f}{\partial x^2} + \frac{\partial^2 f}{\partial y^2}$$

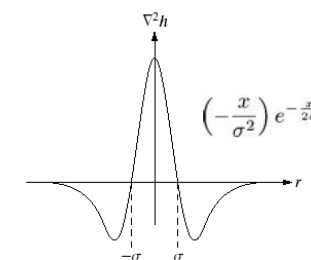
- který může být aproximován maskou lineárního filtru (diskrétní Laplaceův operátor)

$$h = \begin{bmatrix} 0 & 1 & 0 \\ 1 & -4 & 1 \\ 0 & 1 & 0 \end{bmatrix} \quad \text{nebo} \quad h = \begin{bmatrix} 1 & 1 & 1 \\ 1 & -8 & 1 \\ 1 & 1 & 1 \end{bmatrix} \quad \text{nebo} \quad \begin{bmatrix} -2 & 1 & -2 \\ 1 & 4 & 1 \\ -2 & 1 & -2 \end{bmatrix} \quad \text{nebo}$$

| | | | | |
|----|----|----|----|----|
| 0 | 0 | -1 | 0 | 0 |
| 0 | -1 | -2 | -1 | 0 |
| -1 | -2 | 16 | -2 | -1 |
| 0 | -1 | -2 | -1 | 0 |
| 0 | 0 | -1 | 0 | 0 |

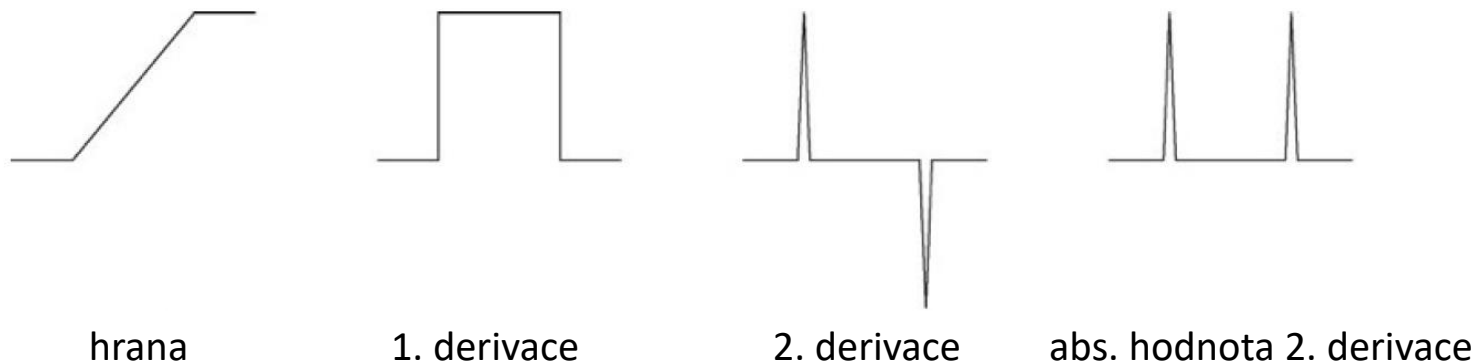


- Oproti operátorům pro aproximaci 1. derivace se jedná o **izotropní** operátor.
- Nevýhodou ale je, že je náchylný na šum.



Detekce hran

- Hrana a její derivace



- Druhá derivace způsobuje duplikování hran.



Detekce hran

- **Průchody nulou**

- Vhodnějším způsobem, jak najít pozici hran pomocí Laplaceova operátoru je lokalizace míst, kde dochází k průchodu nulou (*zero crossings*) – v masce to jsou místa, kde dochází ke změně znaménka.
- Místa průchodu nulou jsou definována pozicí pixelů, které splňují jednu z následujících podmínek:
 - Mají zápornou hodnotu a sousedí aspoň s jedním pixelem, který má kladnou hodnotu (4-okolí).
 - Mají nulovou hodnotu a leží mezi pixelem se zápornou hodnotou a pixelem s kladnou hodnotou.

obrázek

| | | | | | | | | | |
|----|----|-----|-----|-----|-----|-----|-----|----|----|
| 50 | 50 | 50 | 50 | 50 | 50 | 50 | 50 | 50 | 50 |
| 50 | 50 | 50 | 50 | 50 | 50 | 50 | 50 | 50 | 50 |
| 50 | 50 | 200 | 200 | 200 | 200 | 200 | 200 | 50 | 50 |
| 50 | 50 | 200 | 200 | 200 | 200 | 200 | 200 | 50 | 50 |
| 50 | 50 | 200 | 200 | 200 | 200 | 200 | 200 | 50 | 50 |
| 50 | 50 | 200 | 200 | 200 | 200 | 200 | 200 | 50 | 50 |
| 50 | 50 | 50 | 50 | 200 | 200 | 200 | 200 | 50 | 50 |
| 50 | 50 | 50 | 50 | 200 | 200 | 200 | 200 | 50 | 50 |
| 50 | 50 | 50 | 50 | 50 | 50 | 50 | 50 | 50 | 50 |
| 50 | 50 | 50 | 50 | 50 | 50 | 50 | 50 | 50 | 50 |

| | | | | | | | | | |
|------|-----|------|------|------|------|------|------|-----|------|
| -100 | -50 | -50 | -50 | -50 | -50 | -50 | -50 | -50 | -100 |
| -50 | 0 | 150 | 150 | 150 | 150 | 150 | 150 | 0 | -50 |
| -50 | 150 | -300 | -150 | -150 | -150 | -150 | -300 | 150 | -50 |
| -50 | 150 | -150 | 0 | 0 | 0 | 0 | -150 | 150 | -50 |
| -50 | 150 | -150 | 0 | 0 | 0 | 0 | -150 | 150 | -50 |
| -50 | 150 | -300 | -150 | 0 | 0 | 0 | -150 | 150 | -50 |
| -50 | 0 | 150 | 0 | -150 | 0 | 0 | -150 | 150 | -50 |
| -50 | 0 | 0 | 150 | -300 | -150 | -150 | -300 | 150 | -50 |
| -50 | 0 | 0 | 0 | 150 | 150 | 150 | 150 | 0 | -50 |
| -100 | -50 | -50 | -50 | -50 | -50 | -50 | -50 | -50 | -100 |

filtrovaný obrázek
pomocí Laplaceova
operátoru

Detekce hran

- Kombinací aplikace Laplaceova operátoru a následnou identifikací hranových pixelů pomocí detekce míst průchodů nulou získáme hranový detektor.
- Příklad



- V obrázku je bohužel příliš mnoho hran díky různým drobným změnám v intenzitách.

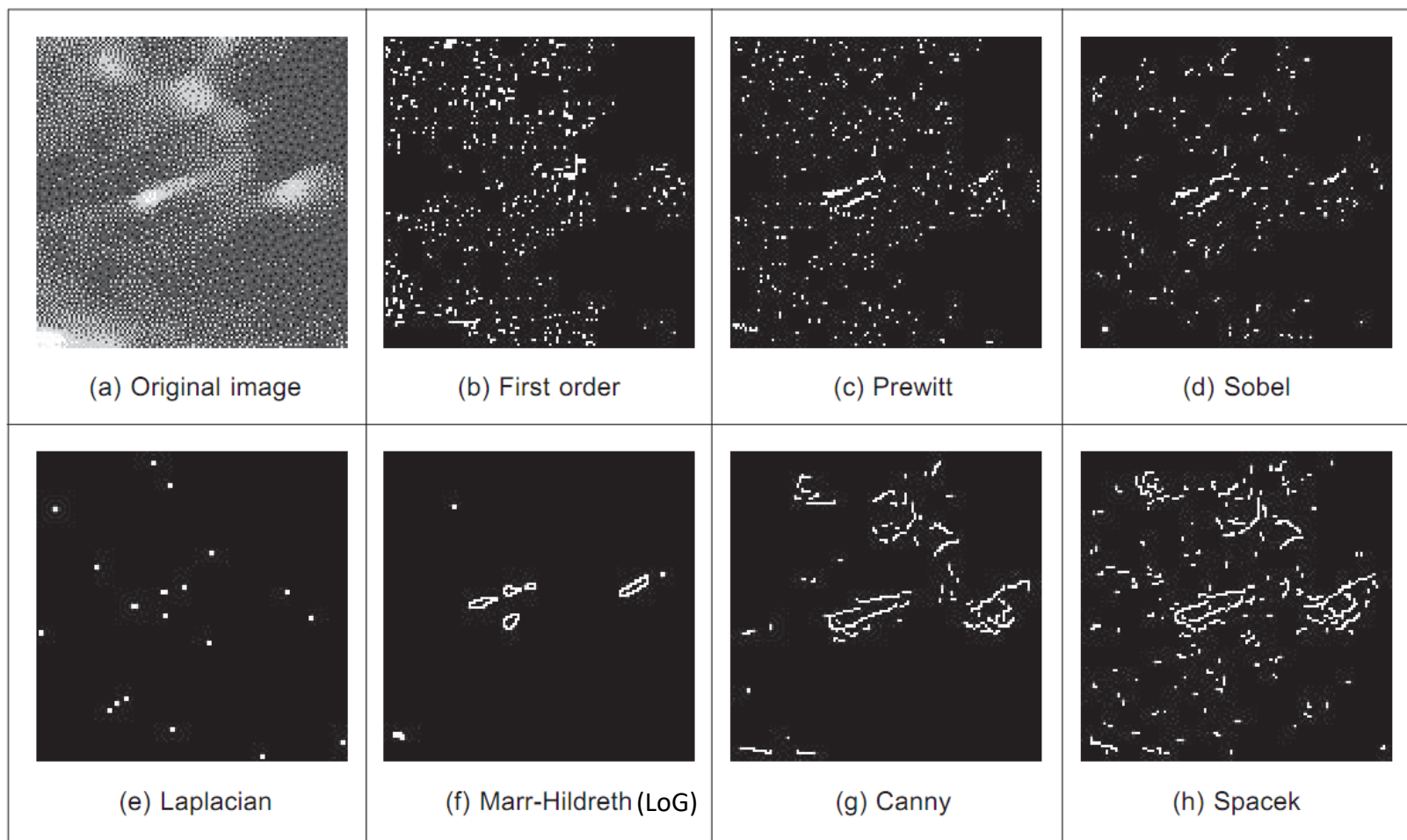
Detekce hran

- Aby nedocházelo k detekci přehnaného množství hran, je výhodné obrázek předem vyfiltrovat, např. pomocí Gaussova filtru – **Marrova-Hildrethova metoda**:
 1. Vyhlazení obrázku pomocí Gaussova filtru
 2. Následná filtrace pomocí Laplaceova filtru
 3. Identifikace míst průchodu nulou
- Kombinace prvních dvou kroků se nazývá **LoG filtr** („*Laplacian of Gaussian*“).
- Velmi dobře aproximuje biologickou filtraci obrazu.



Detekce hran

- Srovnání různých hranových filtrů



Detekce hran

- **Cannyho detektor** –John Canny, 1986

- Tři kritéria/požadavky na detektor:
 - **Nízká chybovost** – schopnost najít hrany a jen hrany
 - **Lokalizace hran** – vzdálenost mezi hranami v obrázku a detekovanými hranami by měla být minimální
 - **Jednoduchá odezva** – nalezeny by měly být hrany jednoduše reprezentované pixely, ne vícenásobné a široké hrany
- Detekce hran v Cannyho detektoru probíhá v několika krocích.
- Nejprve je obrázek vyhlazen pomocí Gaussova filtru (potlačení šumu, snížení rizika chybné detekce hran).
- Následně je použita derivace Gaussova filtru pro nalezení primárních hran. Tento filtr je separovatelný, takže lze nezávisle najít sadu hran v jednom a druhém směru. Složením získáme obrázek primárních hran.

Detekce hran

- Tyto kroky předzpracování obrázku lze shrnout takto:

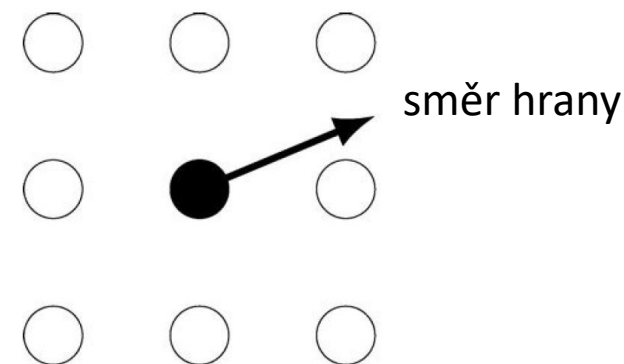
1. Vytvoříme jednodimenzionální Gaussův filtr g (vyhlazení).
2. Vytvoříme jednodimenzionální derivovaný Gaussův filtr dg (detekce hran). $\left(-\frac{x}{\sigma^2}\right) e^{-\frac{x^2}{2\sigma^2}}$
3. Spočítáme konvoluci g a dg a získáme filtr gdg (vyhlazení + detekce hran).
4. Filtr gdg aplikujeme na původní obrázek x a získáme obrázek x_1 (vodorovný směr)
5. Filtr gdg^T aplikujeme na původní obrázek x a získáme obrázek x_2 (svislý směr)
6. Výsledný primární obrázek hran získáme jako $x_e = \sqrt{x_1^2 + x_2^2}$

- Dalším krokem je lokální potlačení nemaximálních hodnot v obrázku.
- Obyčejným prahováním bychom nedosáhli dobrých výsledků.
- Místo toho vyjdeme z toho, že ke každému pixelu můžeme přiřadit směr („hranový gradient“), který odpovídá směru hrany, jehož je daný pixel součástí.
- Pixel potom musí mít větší velikost (intenzitu) než jeho lokální sousedé ve směru hrany.

Detekce hran

- Hranový gradient vypočítáme ze vztahu

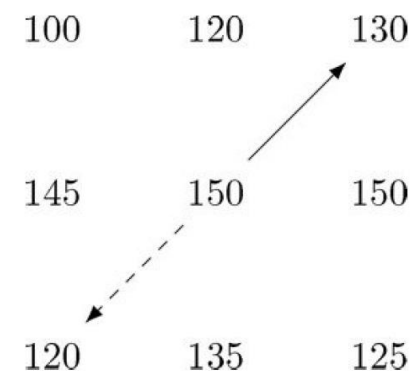
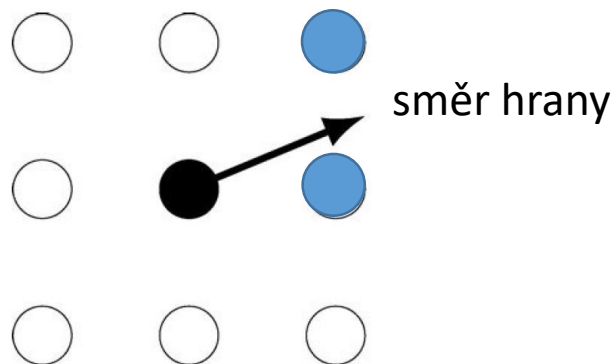
$$xg = \tan^{-1} \left(\frac{x2}{x1} \right)$$



- Vypočtený hranový gradient nemíří ke konkrétnímu pixelu, ale mezi pixely, takže je třeba zvážit míru jejich příspěvku pro výpočet hranového gradientu na základě sousedních pixelů.
- Výpočet lze provést pomocí lineární interpolace intenzit, ale výpočetně jednodušší je použít jiné postupy.

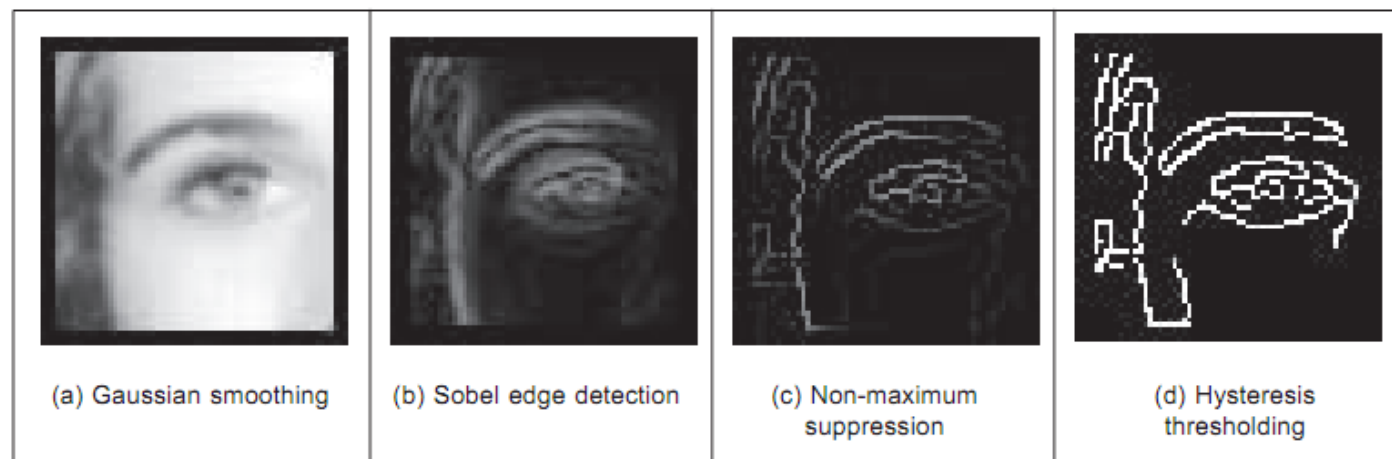
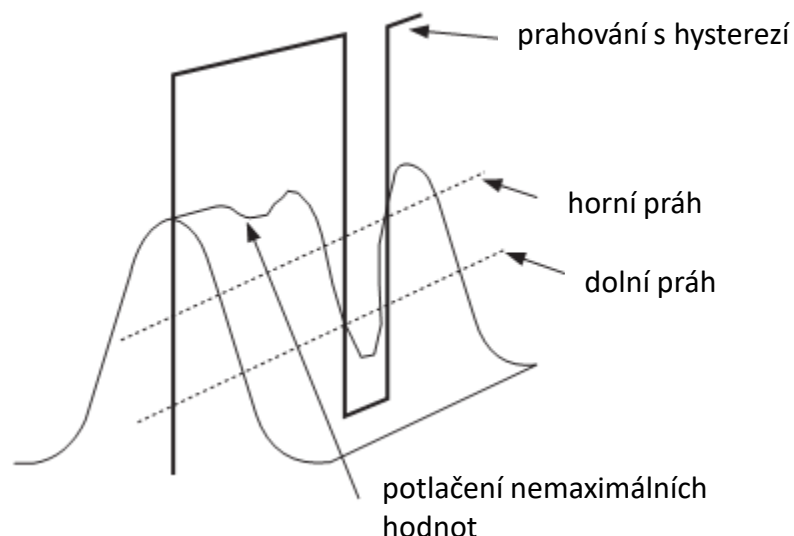
Detekce hran

- Výpočet můžeme provést dvěma způsoby:
 1. Za sousední pixely gradientu bereme ty, mezi které míří gradient a z nich spočítáme vážený průměr. Např. na obrázku vlevo by se jednalo o dva modře zvýrazněné pixely vpravo nahoře.
 2. Za sousední pixely gradientu bereme jednak ten, co je blíže směru gradientu a ten, který leží přesně na opačnou stranu, viz obrázek vpravo. Pokud je hodnota středového pixelu větší než hodnota jeho dvou identifikovaných sousedů, pixel ponecháme (náš případ), jinak ho smažeme.



Detekce hran

- Následně můžeme provést prahování, abychom získali finální hrany.
- Cannyho detektor nepoužívá jednoduché prahování, ale tzv. **prahování s hysterezí** (*hysteresis thresholding*), které používá dva prahy: dolní práh t_L a horní práh t_H
 - Pixel, jehož hodnota je větší než t_H je považován za pixel hrany
 - Pixel, jehož hodnota leží mezi t_L a t_H a který současně sousedí s jiným hranovým pixlem, je považován za pixel hrany.



(a) Gaussian smoothing

(b) Sobel edge detection

(c) Non-maximum
suppression

(d) Hysteresis
thresholding

Detekce rohů

- Rohy – místa, kde se setkávají dvě hrany, které jsou orientovány různým směrem.
- Existuje řada detektorů rohů:
 - Moravcův detektor rohů
 - Harrisův-Stephensův detektor (a jeho různá vylepšení)
 - Förstnerův detektor rohů
 - Wangův-Bradyho detektor rohů
 - Trajkovićův-Hedleyho detektor rohů
 - Tomasiho-Kanadeův detektor rohů
 - Beaudetův detektor rohů
 - ...
- Nejznámější jsou Moravcův detektor a Harrisův-Stephensův detektor.

Detekce rohů

- Moravcův detektor hran

- Jeden z nejstarších a nejjednodušších detektorů
- Roh je identifikován jako pixel, jehož okolí se výrazně liší od ostatních lokálních okolí.

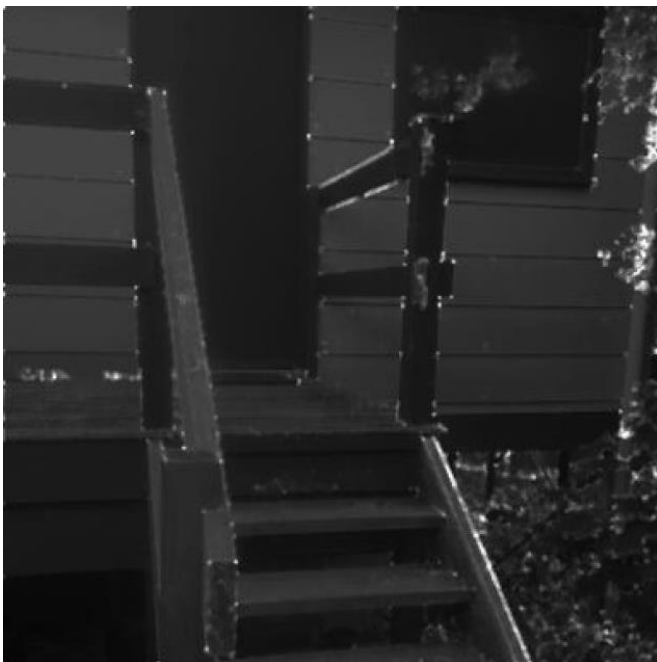
1. Předpokládejme, že pracujeme se čtvercovým oknem (maskou), která má rozměry o lichém počtu pixelů.
2. Okno svým středem umístíme na uvažovaný pixel p .
3. Okno postupně posouváme o jeden pixel ve všech osmi směrech od pixelu p a pro každý tento posun $s=(i,j)$ vypočítáme rozptyl intenzity (intensity variation)

$$I_s = \sum (W(x, y) - W_s(x, y))^2$$

4. Následně vypočítáme minimum M ze všech hodnot I_s .
5. Celý postup opakujeme pro všechny pixely v obrázku. Okraje obrázku doplňujeme nulami.

Detekce rohů

- Moravcův detektor hran



| | | | | | | | | | |
|----|----|----|----|-----|-----|-----|-----|-----|-----|
| 50 | 50 | 50 | 50 | 50 | 50 | 50 | 50 | 50 | 50 |
| 50 | 50 | 50 | 50 | 50 | 50 | 50 | 50 | 50 | 50 |
| 50 | 50 | 50 | 50 | 50 | 50 | 50 | 50 | 50 | 50 |
| 50 | 50 | 50 | 50 | 50 | 50 | 50 | 50 | 50 | 50 |
| 50 | 50 | 50 | 50 | 150 | 150 | 150 | 150 | 150 | 150 |
| 50 | 50 | 50 | 50 | 150 | 150 | 150 | 150 | 150 | 150 |
| 50 | 50 | 50 | 50 | 150 | 150 | 150 | 150 | 150 | 150 |
| 50 | 50 | 50 | 50 | 150 | 150 | 150 | 150 | 150 | 150 |
| 50 | 50 | 50 | 50 | 150 | 150 | 150 | 150 | 150 | 150 |
| 50 | 50 | 50 | 50 | 150 | 150 | 150 | 150 | 150 | 150 |

| | | | | | | | | | |
|---|---|---|----|----|---|---|---|---|----|
| 5 | 0 | 0 | 0 | 0 | 0 | 0 | 0 | 0 | 5 |
| 0 | 0 | 0 | 0 | 0 | 0 | 0 | 0 | 0 | 0 |
| 0 | 0 | 0 | 0 | 0 | 0 | 0 | 0 | 0 | 0 |
| 0 | 0 | 0 | 10 | 10 | 0 | 0 | 0 | 0 | 20 |
| 0 | 0 | 0 | 10 | 20 | 0 | 0 | 0 | 0 | 20 |
| 0 | 0 | 0 | 0 | 0 | 0 | 0 | 0 | 0 | 0 |
| 0 | 0 | 0 | 0 | 0 | 0 | 0 | 0 | 0 | 0 |
| 0 | 0 | 0 | 0 | 0 | 0 | 0 | 0 | 0 | 0 |
| 0 | 0 | 0 | 0 | 0 | 0 | 0 | 0 | 0 | 0 |
| 5 | 0 | 0 | 20 | 20 | 0 | 0 | 0 | 0 | 45 |

- Nevýhodou Moravcova detektoru rohů je, že občas detekuje i hrany jako rohy a navíc nemusí detekovat různé natočené rohy – není isotropní.

Detekce rohů

- Harrisův-Stephensův detektor rohů

- Též nazývaný jen Harrisův detektor
- Založen na Taylorově rozvoji 1. řádu funkce dvou proměnných

$$f(x + h, y + k) \approx f(x, y) + h \frac{\partial f}{\partial x}(x, y) + k \frac{\partial f}{\partial y}(x, y)$$

- Derivace jsou počítány pomocí lineárních filtrů.
- Podobně jako Moravcův detektor rohů, i Harrisův detektor počítá „rozptyl“ intenzit různě posunutých lokálních okolí

$$\sum_{(u,v) \in K} (I(u + s, v + t) - I(u, v))^2$$

- kde, (s, t) je uvažovaný posun a K je maska.

Detekce rohů

- Využijeme Taylorův rozvoj funkce uvedený výše a aplikujeme ho na výpočet „rozptylu“ (parciální derivace označíme $I_x = \frac{\partial I(u,v)}{\partial x}$ a $I_y = \frac{\partial I(u,v)}{\partial y}$)

$$\begin{aligned} & \sum_{(u,v) \in K} (I(u,v) + sI_x(u,v) + tI_y(u,v) - I(u,v))^2 \\ &= \sum_{(u,v) \in K} (sI_x(u,v) + tI_y(u,v))^2 \\ &= \sum_{(u,v) \in K} (s^2 I_x^2 + 2st I_x I_y + t^2 I_y^2) \\ &= \sum_{(u,v) \in K} \begin{bmatrix} s & t \end{bmatrix} \begin{bmatrix} I_x^2 & I_x I_y \\ I_x I_y & I_y^2 \end{bmatrix} \begin{bmatrix} s \\ t \end{bmatrix} \end{aligned}$$

- Harrisův detektor se zaměřuje na určení matice parciálních derivací:

$$H = \begin{bmatrix} I_x^2 & I_x I_y \\ I_x I_y & I_y^2 \end{bmatrix}$$

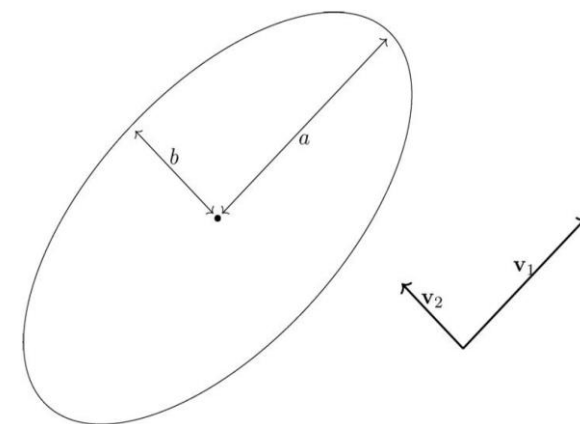
Detekce rohů

- Pro daný posun (s,t) je výraz $s^2 I_x^2 + 2st I_x I_y + t^2 I_y = c$ konstantní a rovnice představuje rovnici elipsy.
- Délky a směry poloos a, b elipsy jsou dány vlastními čísly λ_1 and λ_2 , resp. vlastními vektory \mathbf{v}_1 a \mathbf{v}_2 matice H .

$$H\mathbf{v}_i = \lambda_i \mathbf{v}_i$$

$$a = (\lambda_1)^{-1/2}, b = (\lambda_2)^{-1/2}$$

$$a^2 = \frac{1}{\lambda_1}, b^2 = \frac{1}{\lambda_2}$$



- Protože velikosti poloos nepřímo odpovídají velikostem vlastních čísel, je nejpomalejší (nejméně strmá) změna intenzit ve směru největších vlastních čísel a naopak.

Detekce rohů

- Na základě známých hodnot vlastních čísel rozlišujeme tři případy:
 1. Obě vlastní čísla jsou velká -> žádná významná změna v jakémkoliv směru (jednotlivá oblast bez výraznějších změn)
 2. Jedno vlastní číslo je velké a druhé malé -> značí detekovanou **hranu** ve směru malého vlastního čísla (vektoru)
 3. Obě vlastní čísla jsou malá -> značí detekovaný roh
- Protože matice H , ze které se vypočítávají vlastní čísla, je diagonálně symetrická, dá se výpočet vlastních čísel zjednodušit.
- Mějme matici

$$M = \begin{bmatrix} x & y \\ y & z \end{bmatrix}$$

- Potom lze najít vlastní čísla řešením kvadratické rovnice

$$\lambda^2 - (x + z)\lambda + (xz - y^2) = 0$$

Detekce rohů

- V uvedené rovnici je $x+y=\text{stopa}(M)$ a $xz-y^2=\det(M)$.
- Protože výpočet odmocniny v uvedené kvadratické rovnici je výpočetně náročný, navrhli Harris a Stephens jednodušší přibližný výpočet, který počítá pouze stopu a determinant.
- Výsledná matice R (*corner response*) má rozměry původního obrázku a její hodnoty odpovídají míře detekovaných rohů (velké hodnoty odpovídají rohům)

$$R = \det(M) - k(\text{Tr}(M))^2$$

- kde k je volitelný parametr citlivosti. Typicky se jeho hodnota pohybuje mezi 0,04 a 0,15.

Detekce rohů

- Výpočet detekce rohů lze shrnout do několika jednoduchých kroků
 1. Vypočítáme parciální derivace obrázku ve směrech x a y . Parciální derivace aproximujeme lokálními hranovými filtry, tj. detekujeme hrany ve vodorovném a svislém směru.
 2. Spočítáme prvky matice H , tj.

$$S = \sum I_x^2, \quad T = \sum I_x I_y, \quad U = \sum I_y^2$$

3. Vypočítáme matici R (obrázek s detekovanými rohy; ty lze zvýraznit následným prahováním)

$$R = (SU - T^2) - k(S + U)^2$$

- Pro zvýšení robustnosti algoritmu lze v druhém kroku počítat místo prostého součtu intenzit v daném okně vážený součet daný Gaussovým filtrem, tj. spočítat konvoluce

$$S = (I_x^2) * G, \quad T = (I_x I_y) * G, \quad U = (I_y^2) * G$$

- kde G je Gaussův filtr.

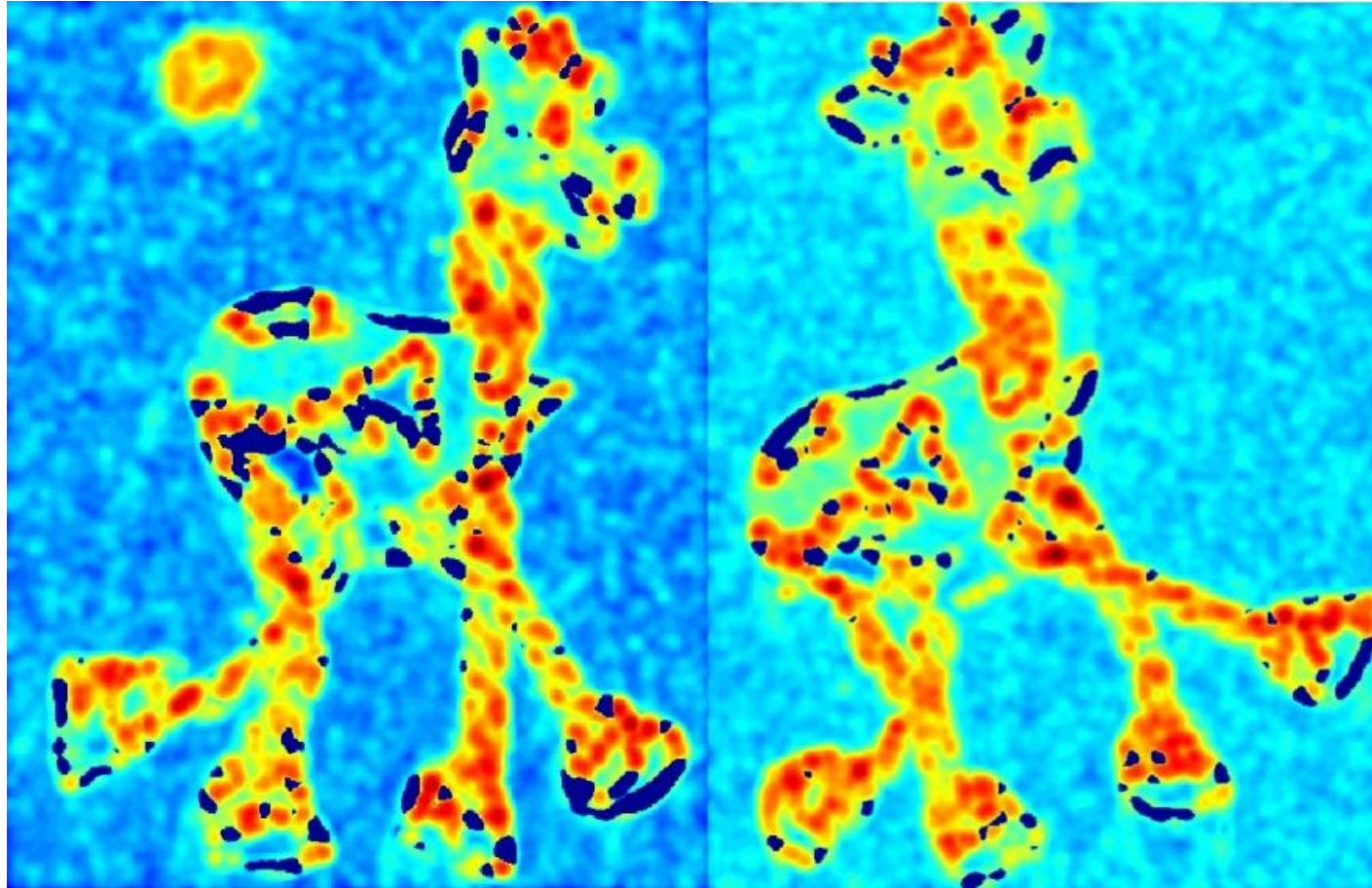
Detekce rohů – Harrisův detektor

- Původní obrázky



Detekce rohů – Harrisův detektor

- Matice R (*Corner response*)



Detekce rohů – Harrisův detektor

- Oprahování $R > \text{daný práh}$



Detekce rohů – Harrisův detektor

- Lokální maxima (potlačení nemaximálních hodnot v lokálních okolích)



Detekce rohů – Harrisův detektor

- Výsledná detekce rohů



Houghova transformace

- HT slouží pro detekci tvaru (hranice, kontury) objektu v obrázku.
- Je zapotřebí znát parametrický tvar rovnice, která popisuje konturu objektu nebo jeho části.
- Pomocí HT se nejčastěji detekují křivky jako jsou přímky, kružnice elipsy apod. – (**klasická**) HT.
- Pokud neexistuje analytický popis tvaru objektu, používá se **zobecněná** HT.

Houghova transformace

- Klasická HT je výpočetně méně náročná, než zobecněná HT.
- Klasická HT je, přes svoje omezení, co se týče požadavku na analytický parametrický popis kontury objektu, plně dostačující pro většinu aplikací.
- Slovo klasická se nepoužívá a mluví se jen o HT.
- Výhodou HT je, že je relativně odolná vůči porušení (chybějícím částem) kontury objektu a vůči šumu.

Houghova transformace

- Princip HT

- Zvolíme vhodný tvar, kterým by šla popsat kontura objektu nebo její část – např. přímka, kružnice apod.
- Vyjádříme tento zvolený tvar, kterým budeme popisovat konturu objektu, pomocí parametrické rovnice.
- Projdeme každý bod kontury objektu a najdeme všechny parametry rovnice tvaru tak, aby tvar popsáný touto rovnicí s těmito parametry procházel daným bodem.
- V prostoru parametrů, tzv. akumulátoru, kde jednotlivé osy reprezentují příslušné parametry, na místě určeném konkrétními hodnotami parametrů daného bodu zvýšíme hodnotu (např. o 1), přičemž na začátku obsahoval akumulátor samé 0.

Houghova transformace

- Princip HT

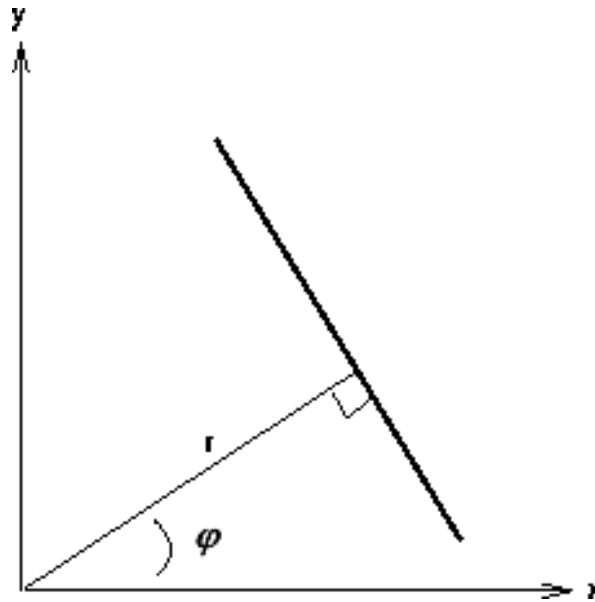
- Poté, co jsme zpracovali všechny body kontury objektu a s jejich pomocí sestavili akumulátor (můžeme ho vizualizovat jako jasový obrázek) najdeme maxima v tomto akumulátoru.
- Body, které sledují předepsaný tvar (např. pro zvolený tvar přímky, body ležící v obrázku v přímce) se budou v prostoru parametrů akumulovat do stejného místa a tím budou jasnější (budou vytvářet maxima).
- Každému maximu v akumulátoru odpovídají konkrétní hodnoty parametrů rovnice tvaru kontury (nebo její části) a po jejich dosazení do rovnice tvaru získáme analytického popisu tvaru (části) kontury.

Houghova transformace

- HT pro **přímkovou** konturu objektu
 - Předpokládejme, že máme obrázek, který obsahuje „hranaté“ objekty, tj. jejich kontura je složena z přímkových úseků.
 - Vhodný analytickým popisem kontury bude tedy přímka. Rovnici přímky musíme vyjádřit v parametrické podobě. Tvar $y = k \cdot x + q$ (s parametry k, q) není vhodný, protože směrnice k jde k nekonečnu pro svislé přímky).
 - Vhodnou parametrickou rovnicí přímky je tvar
$$x \cdot \cos \varphi + y \cdot \sin \varphi = r$$
 - kde r je délka normály k přímce procházejí daným bodem a φ je úhel této normály od osy x .

Houghova transformace

- Pro každý bod (x,y) , který leží na přímce jsou parametry r a φ konstantní.



Houghova transformace

- Postupně procházíme všechny body (x_i, y_i) kontury objektu a hledáme parametry r a φ v uvedené rovnici.
- Protože hledáme **dva** parametry, ale máme jen **jednu** rovnici není úloha jednoznačná a dostáváme nekonečně mnoho řešení.
- V praxi probíhá hledání vhodných parametrů následovně:
 - Zvolíme jemnost dělení úhlu φ (velikost kroku) a postupně procházíme všechny úhly od 0 do 360° s daným krokem (velikost kroku bude ovlivňovat přesnost proložení kontury hledanou přímkou – pozice, úhel) a
 - pro každý zvolený úhel dopočteme podle uvedené rovnice délku normály r .

Houghova transformace

- Pro každý bod tak získáme soubor úhlů φ a jim odpovídajících délek r – dvojice (φ, r) .
- V parametrickém prostoru (akumulátoru) zvýšíme hodnotu (např. o 1) na místě daném příslušnou dvojicí (φ, r) .
- Každému bodu kontury objektu bude odpovídat v parametrickém prostoru (akumulátoru) jedna křivka (má sinusový charakter).
- Výsledný akumulátor lze vizualizovat jako jasový obrázek.
- Nalezením (pozic) maxim v akumulátoru najdeme příslušnou dvojici parametrů (φ, r) , které po dosazení do výše uvedeného vztahu jednoznačně určí analytický popis kontury (její části)
- **Pozn.:** Kontura je v metodě HT popsána přímkou (nekonečnou čarou), přičemž hledáme popis kontury pomocí úseček. Proto je třeba následně aplikovat další algoritmy, které omezí přímku na hledanou úsečku.

Houghova transformace

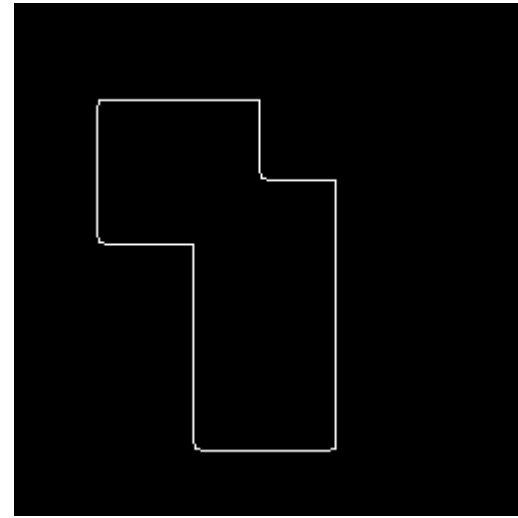
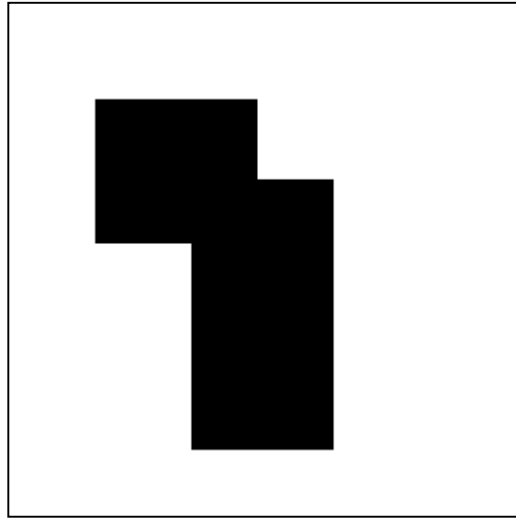
- Pokud má kontura objektu jiný tvar, je zapotřebí použít jinou analytickou parametrickou rovnici, která lépe vystihuje její tvar.
- Např. pokud bychom měli v obrázku kruhové objekty, pak příslušná parametrická rovnice by měla tvar

$$(x - a)^2 + (y - b)^2 = r^2$$

- kde a , b jsou souřadnice středu kružnice a r je poloměr kružnice.
- V této rovnici jsou už **tři** parametry a tedy parametrický prostor (akumulátor) je třídímenzionální.
- Stoupá také doba potřebná pro výpočet.
- Klasická HT se hodí pro objekty, které lze snadno popsat jednoduchými parametrickými rovnicemi s málo parametry.
- Pro složitější kontury objektů se používá zobecněná HT.

Houghova transformace

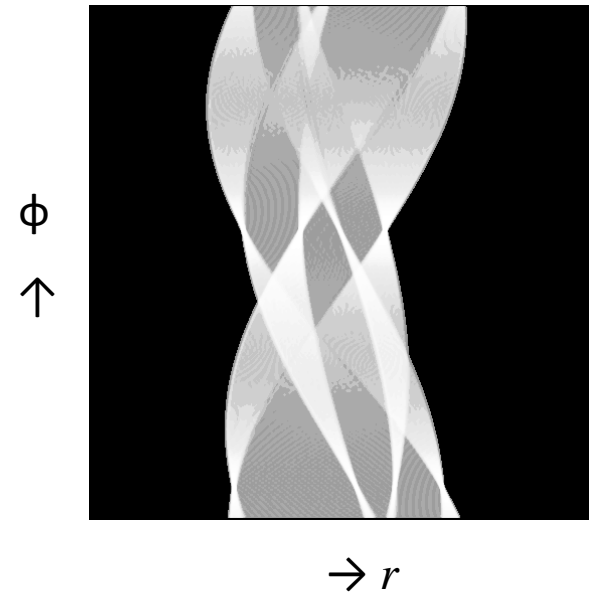
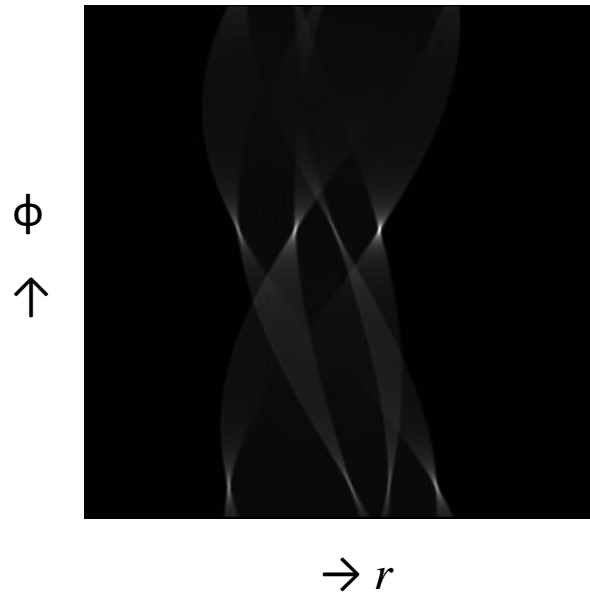
- Příklad:
 - Mějme následující obrázek a najděme analytický popis jeho kontury.



Po aplikaci Cannyho detektoru
dostaneme konturu objektu

Houghova transformace

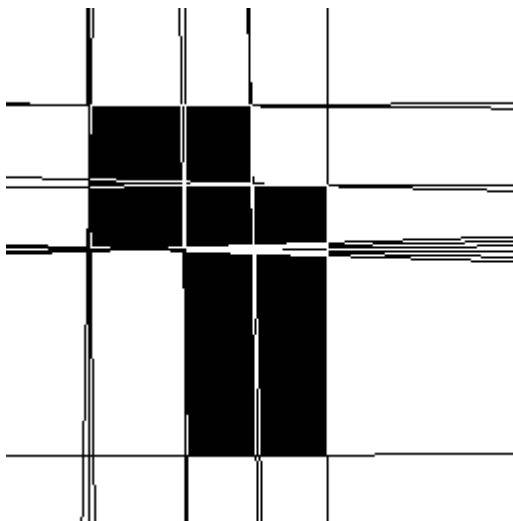
- Po zpracování všech bodů kontury (nalezení souborů dvojic parametrů (ϕ, r)) dostaneme výsledný akumulátor (zobrazený jako jasová bitmapa)



Pouze jasové zvýraznění –
ekvalizace histogramu

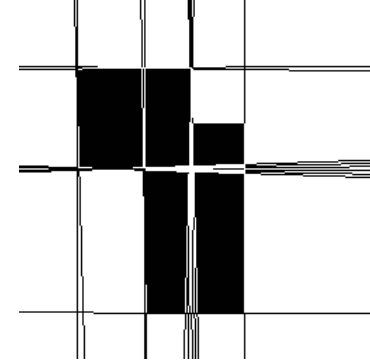
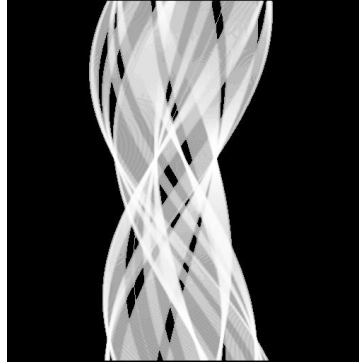
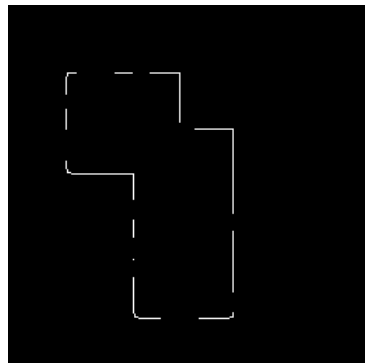
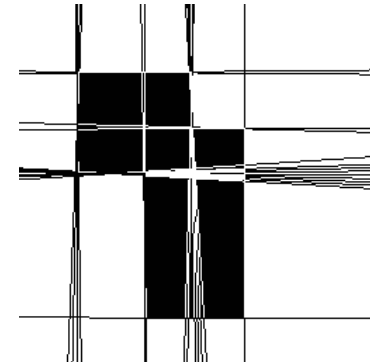
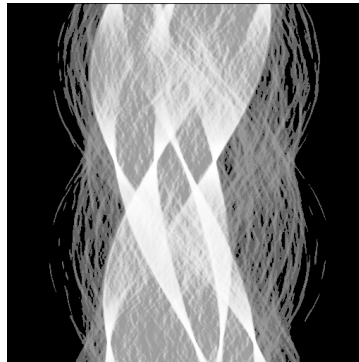
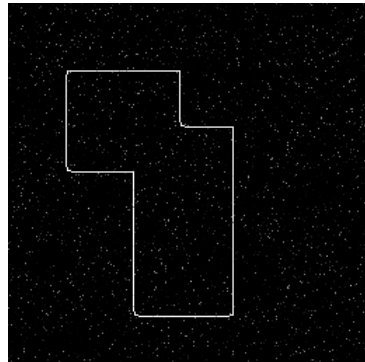
Houghova transformace

- Najdeme maxima (světlá místa) v akumulátoru. Každému maximu odpovídá jedna dvojice (φ, r) , tedy jedna přímka.
- Promítnutí nalezených přímek do původního obrázku:



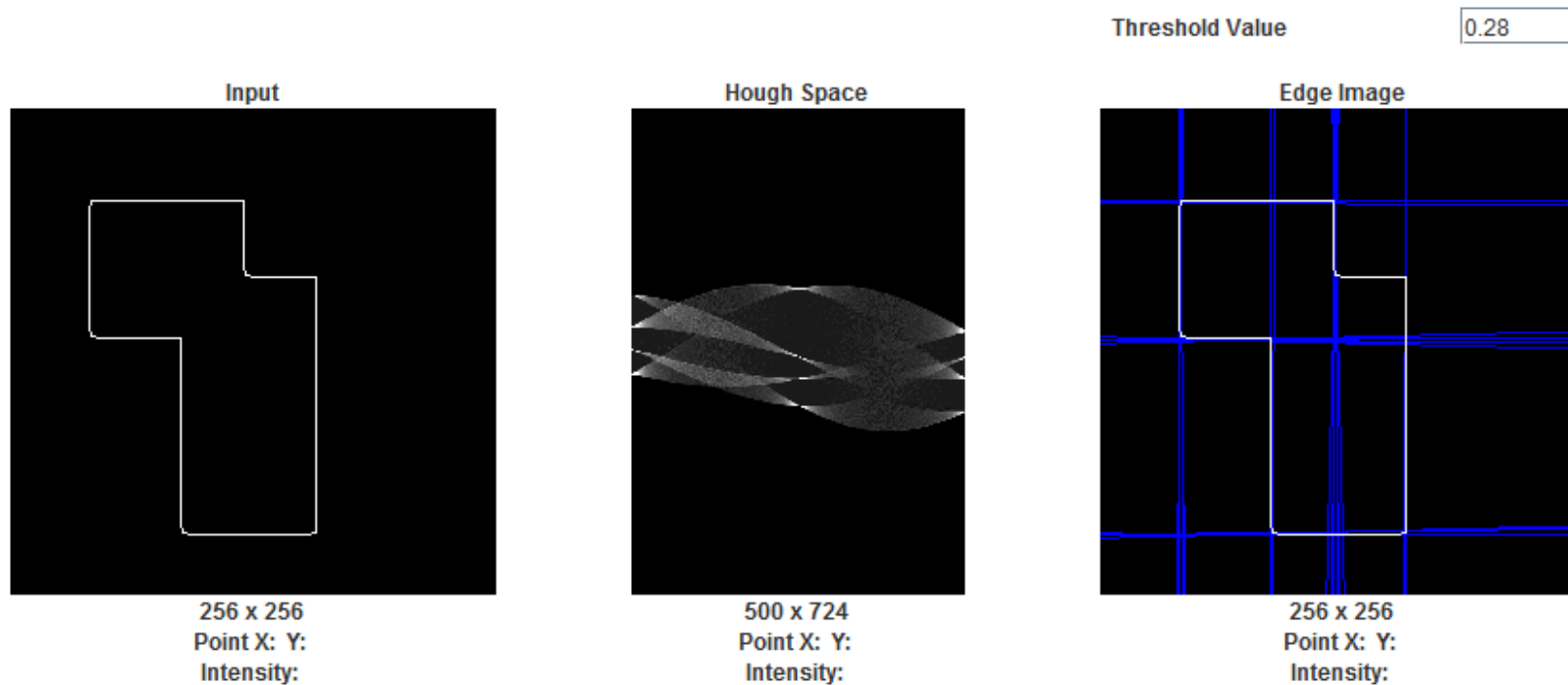
Houghova transformace

- HT je relativně odolná proti šumu i proti chybějícím částem kontury:



Houghova transformace

- Ukázka z Java apletu:



<http://www-old.rob.cs.tu-bs.de/content/04-teaching/06-interactive/Hough.html>

Literatura

- McAndrew A., Computational Introduction to Digital Image Processing, CRC Press, 2. vydání, 2016
- Sundararajan D., Digital Image Processing: A Signal Processing and Algorithmic Approach, Springer, 2017
- Birchfield S., Image Processing and Analysis, Cengage Learning, 2016
- Acharya T., Ray A. K., Image Processing: Principles and Applications, Wiley, 2005
- Burger W., Burge M. J., Principles of Digital Image Processing: Fundamental Techniques, Springer-Verlag, 2009